

Algorithmen für Routenplanung

21. Vorlesung, Sommersemester 2023

Jonas Sauer | 5. Juli 2023



Routenplanung in Transportnetzwerken:

- Dijkstras Algorithmus zu langsam in der Praxis
- ⇒ Unmengen an **Beschleunigungstechniken** [BDG⁺16]
- Sehr hohe Beschleunigung auf Straßennetzwerken
 - Moderate Beschleunigung auf Public Transit [BDGM09, BDW11, DDPW15]

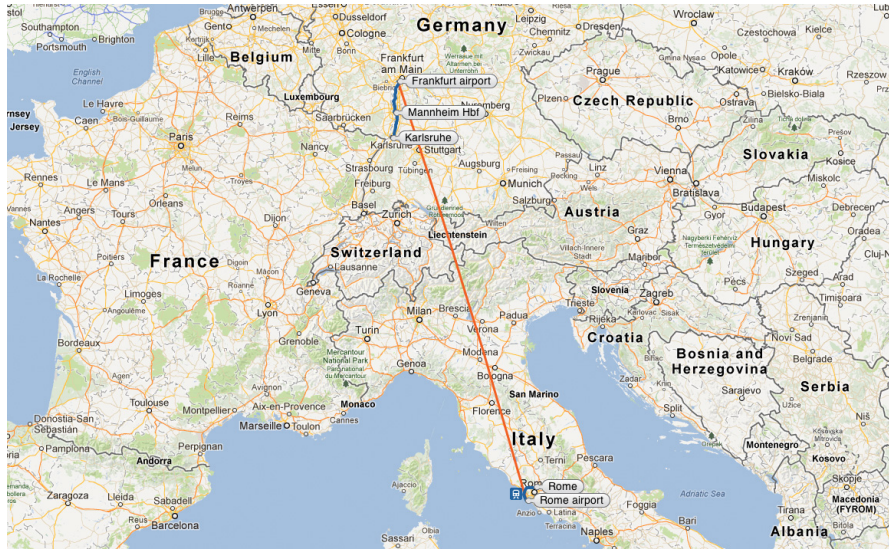
Aber hauptsächlich unimodale Routenplanung:

- Beschränkt auf ein Transportnetzwerk
- Mit einer einzigen Art Zeitabhängigkeit, wenn überhaupt

Realistische Szenarien sind multimodal:

- Zwischen beliebigen Orten
- In einem **gemischten Netzwerk** verschiedener Transportmodi

Multimodale Routenplanung



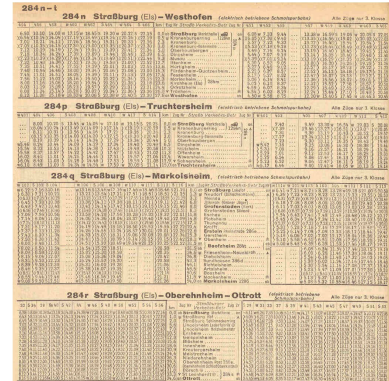
<http://rome2rio.com>

Modellierung

Problemstellung

Geg.: Transportnetzwerke, bestehend aus

- Privatauto/Taxi
- Bike-/Car-Sharing
- Laufen
- Fahrplanbasiertem öffentlichem Verkehr
- Flügen
- Verknüpfungen für Modalitätswechsel



The image displays four screenshots of public transport timetables for the region around Straßburg, France. Each screenshot shows a detailed schedule for a specific route, including departure and arrival times for various stops. The routes are:

- 284 n-l Straßburg (Els) - Weathofen**: Verbindet Straßburg (Schneppenbach) and Weathofen. Alle 21 bis zur 3. Klasse.
- 284 p Straßburg (Els) - Truchtersheim**: Verbindet Straßburg (Schneppenbach) and Truchtersheim. Alle 21 bis zur 3. Klasse.
- 284 q Straßburg (Els) - Markolsheim**: Verbindet Straßburg (Schneppenbach) and Markolsheim. Alle 21 bis zur 3. Klasse.
- 284 r Straßburg (Els) - Oberrhein - Ottrott**: Verbindet Straßburg (Schneppenbach) and Ottrott. Alle 21 bis zur 3. Klasse.

Problemstellung

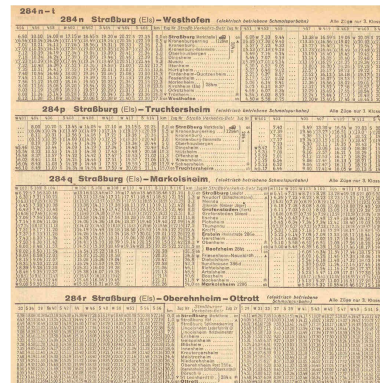
Geg.: Transportnetzwerke, bestehend aus

- Privatauto/Taxi
- Bike-/Car-Sharing
- Laufen
- Fahrplanbasiertem öffentlichem Verkehr
- Flügen
- Verknüpfungen für Modalitätswechsel

Earliest Arrival Query:

Für Positionen s, t und Abfahrtszeit τ_{dep} , berechne

- Journey nach t , die bei s nicht vor τ_{dep} abfährt,
- und bei t so früh wie möglich ankommt.



The image displays four screenshots of German railway timetables, stacked vertically. Each screenshot shows a detailed schedule for a specific route, including departure and arrival times for various stations. The routes are: 284n-l (Straßburg (Elz) - Weathofen), 284p (Straßburg (Elz) - Truchtersheim), 284q (Straßburg (Elz) - Markolsheim), and 284r (Straßburg (Elz) - Oberrhein - Ottrott). The tables are organized into columns for different stations and rows for different train services.

Zeitabhängiges Modell [BJ04, PSWZ08]:

- Trips werden in **Routen** eingeteilt
- Für jede Route an einem Stop: Ein **Routenknoten**
- Kantengewichte sind Funktionen



Auch: Zeitexpandiertes Modell [PSWZ08],
nicht-graphbasierte Ansätze [DPW12a, DPSW13]

Problem:

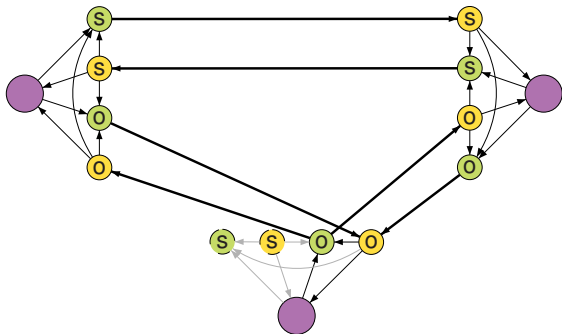
- Bisherige Modelle wurden für Zugverkehr erdacht
- Führen bei Flugnetzwerken zu viel zu großen Graphen

Extramodell für Flugnetzwerke [DPWZ09]:

- Pro Flughafen: Terminal-Knoten
- Pro Flugallianz: Departure- und Arrival-Knoten

Modelliert Prozeduren am Flughafen:

- Check-in-Dauer
- Check-out-Dauer
- Transfer-Dauer innerhalb
- ... und zwischen Flugallianzen



Straßennetze:

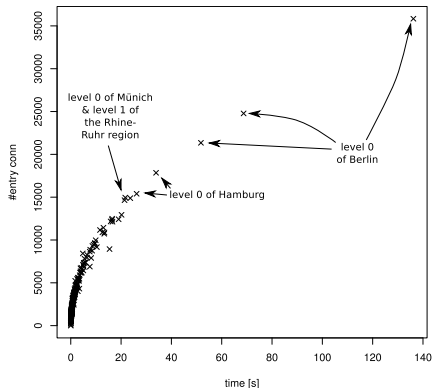
- Stark ausgeprägte Hierarchie (für Reisezeit)
- ↔ (lange) Kürzeste Wege konvergieren zur Autobahn
- Ausgenutzt in vielen Beschleunigungstechniken [ADGW11, ALS13]
- ↔ Punkt-zu-Punkt-Anfragen in Mikrosekunden oder weniger
- Kleine Separatoren ↔ ausgenutzt in CRP [DGRW11]

Öffentliche Verkehrsnetze:

- Inhärent zeitabhängig (Abfahrten und Ankünfte)
- Eingeschränkte Fußwege für Transfers (vom Betreiber)
- Inhärent multikriteriell (Reisezeit vs. # Transfers)
- Weniger stark ausgeprägte Hierarchie
- Weniger gut separierbar [SW14]

Öffentliche Verkehrsnetze:

- Inhärent zeitabhängig (Abfahrten und Ankünfte)
- Eingeschränkte Fußwege für Transfers (vom Betreiber)
- Inhärent multikriteriell (Reisezeit vs. # Transfers)
- Weniger stark ausgeprägte Hierarchie
- Weniger gut separierbar [SW14]



Viele Produktivsystem für „multimodale“ Routenplanung benutzen Heuristiken: Google Transit, bahn.de, ...

- Öffentlicher Verkehr (erinnere: vordefinierte Transferkanten!)
- + Eingeschränktes Laufen am Anfang und Ende (15 min Radii)
(Oft mit Dijkstra berechnet)

Viele Produktivsystem für „multimodale“ Routenplanung benutzen Heuristiken: Google Transit, bahn.de, ...

- Öffentlicher Verkehr (erinnere: vordefinierte Transferkanten!)
- + Eingeschränktes Laufen am Anfang und Ende (15 min Radii)
(Oft mit Dijkstra berechnet)
- Was ist mit 15:01 min Laufen?

Viele Produktivsystem für „multimodale“ Routenplanung benutzen Heuristiken: Google Transit, bahn.de, ...

- Öffentlicher Verkehr (erinnere: vordefinierte Transferkanten!)
- + Eingeschränktes Laufen am Anfang und Ende (15 min Radii)
(Oft mit Dijkstra berechnet)
- Was ist mit 15:01 min Laufen?
- Auto und Flüge: 350 km? 351 km? 500 km?

Viele Produktivsystem für „multimodale“ Routenplanung benutzen Heuristiken: Google Transit, bahn.de, ...

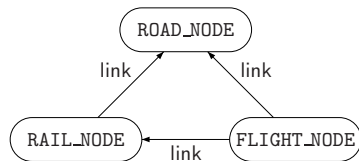
- Öffentlicher Verkehr (erinnere: vordefinierte Transferkanten!)
- + Eingeschränktes Laufen am Anfang und Ende (15 min Radii)
(Oft mit Dijkstra berechnet)
- Was ist mit 15:01 min Laufen?
- Auto und Flüge: 350 km? 351 km? 500 km?

Wir wollen **beweisbar optimale** Journeys
mit uneingeschränkter Fußweg- und Autonutzung.

Kombination der Netzwerke

Zwei Schritte:

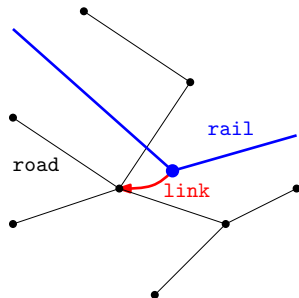
- Füge alle Graphen zusammen
- Verbinde sie durch Link-Kanten



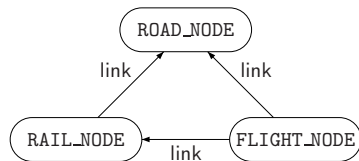
Kombination der Netzwerke

Zwei Schritte:

- Füge alle Graphen zusammen
- Verbinde sie durch Link-Kanten



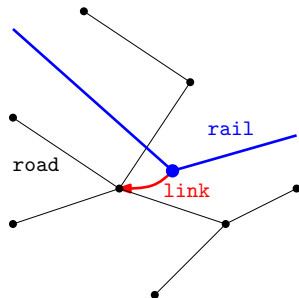
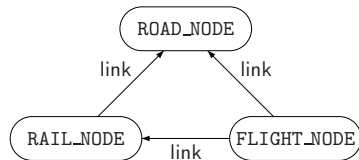
- Verbinde Knoten mit (geometrisch) nächstem Nachbar (oder besser: Indoor-Routing beachten)
- Labelle Kanten bzgl. ihres Transportmodus
- Resultierender Graph: groß, weniger deutliche Hierarchie



Kombination der Netzwerke

Zwei Schritte:

- Füge alle Graphen zusammen
- Verbinde sie durch Link-Kanten

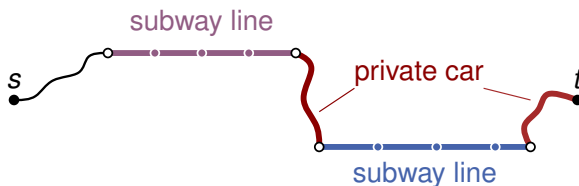


- Verbinde Knoten mit (geometrisch) nächstem Nachbar (oder besser: Indoor-Routing beachten)
- Labelle Kanten bzgl. ihres Transportmodus
- Resultierender Graph: groß, weniger deutliche Hierarchie

Dijkstras Algorithmus berechnet (schnellste) Journeys auf multimodalem Graphen.

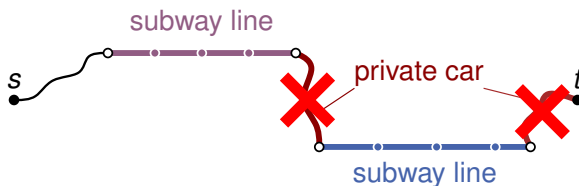
Unerwünschte Modalitätswechsel

Problem: Kürzeste Wege haben evtl. merkwürdige Modalitätsfolgen



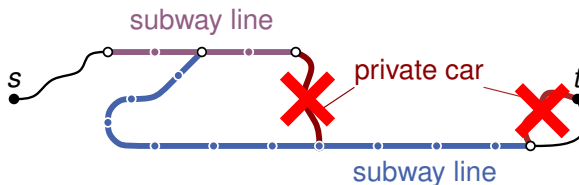
Unerwünschte Modalitätswechsel

Problem: Kürzeste Wege haben evtl. merkwürdige Modalitätsfolgen



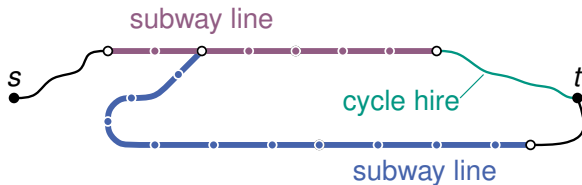
Unerwünschte Modalitätswechsel

Problem: Kürzeste Wege haben evtl. merkwürdige Modalitätsfolgen



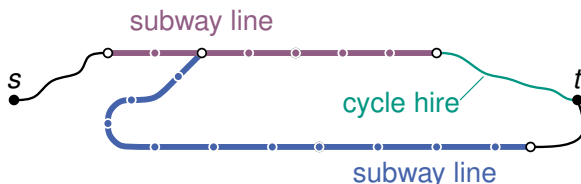
Unerwünschte Modalitätswechsel

Problem: Kürzeste Wege haben evtl. merkwürdige Modalitätsfolgen



Unerwünschte Modalitätswechsel

Problem: Kürzeste Wege haben evtl. merkwürdige Modalitätsfolgen

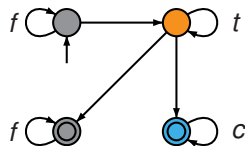


- Nicht alle modalen Folgen sind zulässig
- Verfügbare/gewünschte Modi hängen vom Nutzer ab

Bekannte Lösung: LCSP

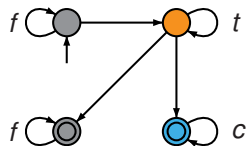
Label Constrained Shortest Path Problem (LCSP):

- Definiere Alphabet Σ der Modi
- Kanten sind bzgl. Modus gelabelt
- Konkatenation der Kantenlabels eines Pfads entspricht Wort $w \in \Sigma^*$
- Erlaube nur Pfade mit $w \in L$ für Sprache $L \subset \Sigma^*$
- Lösbar in Polynomialzeit, wenn L reguläre Sprache [BJM00]



Label Constrained Shortest Path Problem (LCSP):

- Definiere Alphabet Σ der Modi
- Kanten sind bzgl. Modus gelabelt
- Konkatination der Kantenlabels eines Pfads entspricht Wort $w \in \Sigma^*$
- Erlaube nur Pfade mit $w \in L$ für Sprache $L \subset \Sigma^*$
- Lösbar in Polynomialzeit, wenn L reguläre Sprache [BJM00]



Dijkstras Algorithmus für LCSP: [BJM00]

- Benutze Produktgraph $G \times \mathcal{A}(L)$ mit endlichem Automaten $\mathcal{A}(L)$
- Oder: Erlaube mehrere Distanzlabel pro Knoten (1 pro Zustand)
- Eher langsam (≈ 15 s auf Europa-Instanz)

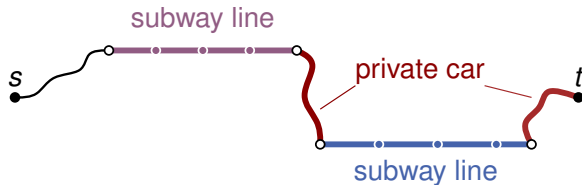
Feste Constraints:

- Adaption von A* und bidirektionaler Suche [BBH⁺09]
- Access-Node Routing (ANR) [DPW09]
- State-Dependent ALT (SDALT) [KLPC11]

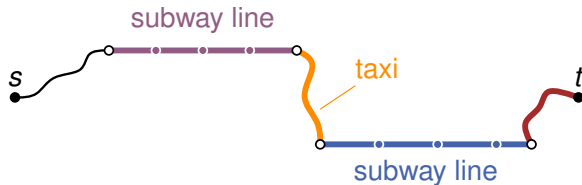
Benutzerdefinierte Constraints:

- User-Constrained Contraction Hierarchies (UCCH) [DPW12b]

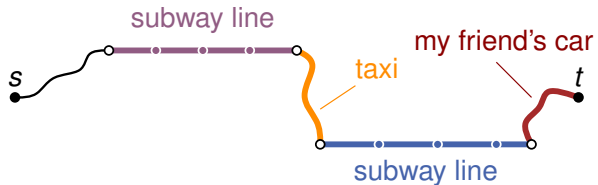
Benutzerdefinierte Constraints

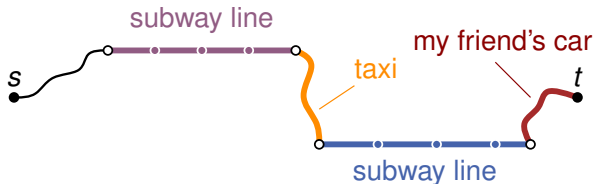


Benutzerdefinierte Constraints



Benutzerdefinierte Constraints





- Modale Restriktionen hängen vom **Benutzer** ab
- Automat als Eingabe zur **Anfrage**
- Beschleunigungstechnik benötigt **flexible Vorbereitung**

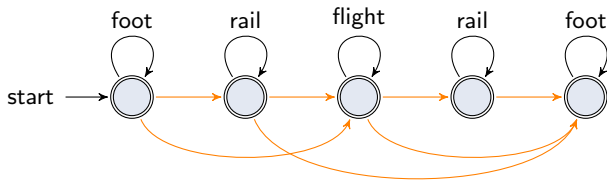
Beobachtung:

Sinnvolle Constraints enthalten üblicherweise keine Einschränkungen innerhalb eines Teilnetzwerkes
(nicht: „Benutze nur drei Straßenkanten“)

Mode Sequence Constraints

Beobachtung:

Sinnvolle Constraints enthalten üblicherweise keine Einschränkungen innerhalb eines Teilnetzwerkes
(nicht: „Benutze nur drei Straßenkanten“)

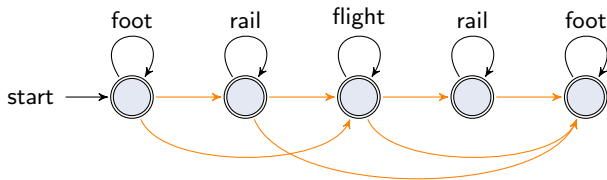


Idee: Betrachte **Mode Sequence (MS) Constraints**.

Mode Sequence Constraints

Beobachtung:

Sinnvolle Constraints enthalten üblicherweise keine Einschränkungen innerhalb eines Teilnetzwerkes (nicht: „Benutze nur drei Straßenkanten“)



Idee: Betrachte **Mode Sequence (MS) Constraints**.

Ziel:

- Eine **gemeinsame** Vorberechnung für **jegliche MS**
- Mäßiger Platzverbrauch und schnelle Anfragen

User-Constrained CH (UCCH) [DPW12b]

Idee:

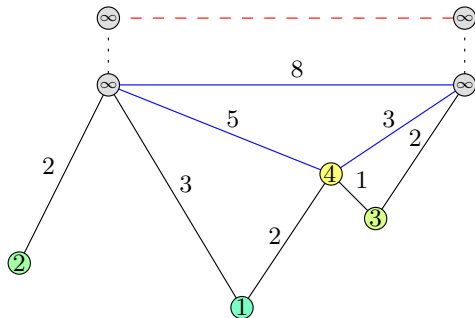
- Basierend auf Contraction Hierarchies [GSSV12]

Idee:

- Basierend auf Contraction Hierarchies [GSSV12]
- Kontrahiere keine Knoten mit inzidenten Link-Kanten [DPW09]

Vorbereitung:

- Rank von gelinkten Knoten ist ∞
 - Shortcuts übergreifen keine Netzwerke
 - Zeugensuche beschränkt auf Teilnetz
- ⇒ Ein gemeinsamer Core,
unabh. Teilkomponenten

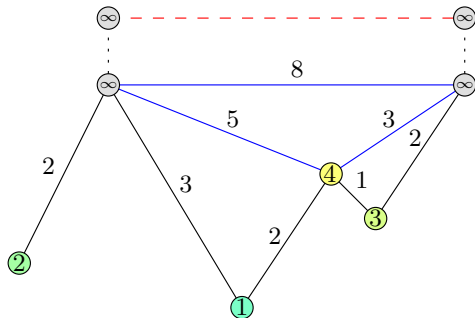


Idee:

- Basierend auf Contraction Hierarchies [GSSV12]
- Kontrahiere keine Knoten mit inzidenten Link-Kanten [DPW09]

Vorbereitung:

- Rank von gelinkten Knoten ist ∞
 - Shortcuts übergreifen keine Netzwerke
 - Zeugensuche beschränkt auf Teilnetz
- ⇒ Ein gemeinsamer Core,
unabh. Teilkomponenten



Vorbereitung unabhängig von Mode Sequence Constraints

Zwei nahtlose Schritte:

1. Auf Straßenkomponente: CH-Anfrage [[GSSV12](#)]
2. Auf gemeinsamen Core: Multi-Source-Multi-Target LCSPD-Dijkstra [[BJM00](#)]

Zwei nahtlose Schritte:

1. Auf Straßenkomponente: CH-Anfrage [GSSV12]
2. Auf gemeinsamen Core: Multi-Source-Multi-Target LCSPD-Dijkstra [BJM00]

Verbesserungen:

- Knoten umsortieren: Core-Knoten nach vorne
- Knotengrad wegen unkontrahierter Core-Knoten recht hoch
⇒ Nur partielle Kontraktion
- Keine Rückwärtssuche im Core

Experimente

Netzwerke:

Deutschland Straße (5 M Knoten, 12 M Kanten)

Deutschland Züge (6.8 k Stops, 0.5 M Connections)

| | Preprocessing | | | | Query (road only) | | | |
|----------|-----------------|------------|----------------|------------|-------------------|---------------|---------------|-----------|
| | avg core degree | core nodes | shortcut edges | time [min] | settled nodes | relaxed edges | touched edges | time [ms] |
| UCCH | 10 | 30 908 | 42.3 % | 6 | 15 531 | 27 506 | 155 776 | 5.85 |
| | 15 | 16 003 | 43.1 % | 7 | 8 090 | 16 844 | 121 631 | 3.11 |
| | 20 | 12 239 | 43.7 % | 9 | 6 240 | 14 425 | 124 201 | 2.82 |
| | 25 | 10 635 | 44.2 % | 10 | 5 465 | 13 687 | 135 151 | 2.80 |
| | 30 | 9 742 | 44.7 % | 12 | 5 049 | 13 486 | 148 735 | 2.96 |
| | 35 | 9 171 | 45.1 % | 14 | 4 794 | 13 598 | 163 376 | 3.15 |
| | 40 | 8 788 | 45.4 % | 15 | 4 628 | 13 787 | 179 483 | 3.38 |
| Part. CH | 13 | 10 635 | 41.7 % | 6 | 5 567 | 11 402 | 71 860 | 1.93 |
| Part. CH | 15 | 6 750 | 41.8 % | 7 | 3 636 | 7 970 | 53 655 | 1.37 |
| CH | — | 0 | 41.8 % | 9 | 677 | 1 290 | 11 434 | 0.25 |

Netzwerke:

Europa & Nordamerika Straße (50 M Knoten, 125 M Kanten)

Europa Züge (31 k Stops, 1.6 M Connections)

Star Alliance Flüge (1 172 Stops, 28 k Connections)

| | | Preprocessing | | Queries | |
|---------------|----------|---------------|-------------|-----------|---------|
| | | Time [h:m] | Space [MiB] | Time [ms] | Speedup |
| flight | Dijkstra | — | — | 33 862.00 | 1 |
| | ANR | 3:04 | 14 050 | 1.07 | 31 551 |
| | UCCH | 1:18 | 542 | 0.67 | 50 540 |
| rail & flight | Dijkstra | — | — | 35 261.00 | 1 |
| | UCCH | 1:27 | 558 | 70.52 | 500 |

Intel Xeon E5430, 2.66 GHz, 32 GiB RAM, 12 MiB L2 cache

Bisher:

- Schnelle Berechnung **zulässiger** multimodaler Journeys
- Flexible Vorberechnung – auf statischen Straßennetzwerken
- Public Transit nur im Core \Rightarrow Dynamische Fahrpläne möglich

Aber:

- Es ist nur *ein* kürzester Weg
- Gibt nicht die Fülle aller verfügbaren Optionen wieder
- Aktueller Straßenverkehr? Zeitabhängigkeit?
- Weniger ausgeprägte Hierarchie (im Vergleich zu unimodalen Straßennetzwerken)

Bisher:

- Schnelle Berechnung **zulässiger** multimodaler Journeys
- Flexible Vorberechnung – auf statischen Straßennetzwerken
- Public Transit nur im Core \Rightarrow Dynamische Fahrpläne möglich

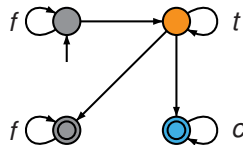
Aber:

- Es ist nur *ein* kürzester Weg
- Gibt nicht die Fülle aller verfügbaren Optionen wieder
- Aktueller Straßenverkehr? Zeitabhängigkeit?
- Weniger ausgeprägte Hierarchie (im Vergleich zu unimodalen Straßennetzwerken)

Problem gelöst?

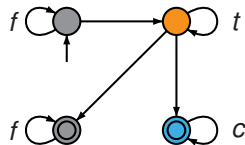
Label Constrained Shortest Path Problem (LCSP):

- Definiere Alphabet über Transportmodi
- Graph mit Kantenlabels
- Gültiger Pfad muss Wort aus einer gegebenen regulären Sprache entsprechen



Label Constrained Shortest Path Problem (LCSP):

- Definiere Alphabet über Transportmodi
- Graph mit Kantenlabels
- Gültiger Pfad muss Wort aus einer gegebenen regulären Sprache entsprechen

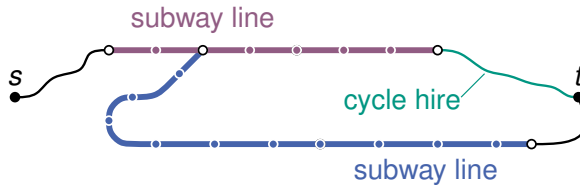


Algorithmen für LCSP:

- Dijkstra auf Produktgraph mit endlichem Automaten
- Beschleunigungstechniken: ANR, SDALT
- Constraints als Query-Eingabe: UCCH

Bisherige Ansätze

Nachteile von LCSP:



Bisherige Ansätze

Nachteile von LCSP:

s
•

?

t
•

Nachteile von LCSP:



- Constraints müssen im Voraus spezifiziert werden
- Sind dem Nutzer ggf. nicht bewusst
- Nur eine Journey wird berechnet (keine Alternativen)

Nachteile von LCSP:



- Constraints müssen im Voraus spezifiziert werden
- Sind dem Nutzer ggf. nicht bewusst
- Nur eine Journey wird berechnet (keine Alternativen)

Ziel: Berechne **sinnvolle Menge** multimodaler Journeys.

Multikriterielle multimodale Journeys

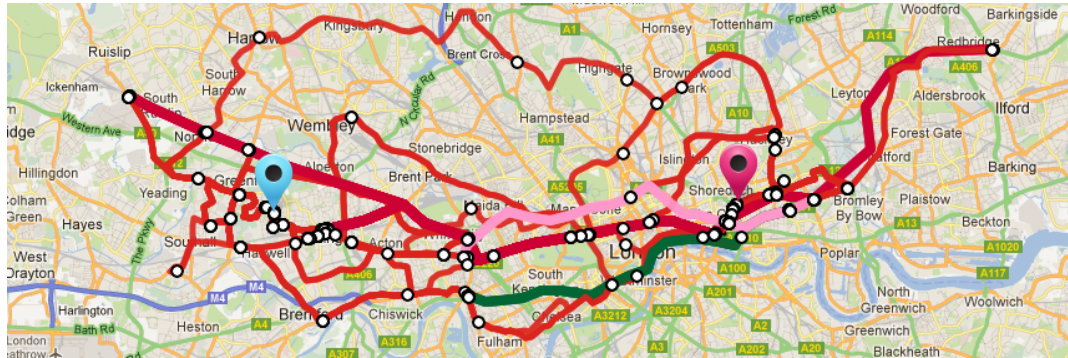
Ziel: Berechne **multikriterielle** multimodale Pareto-Mengen.

- Optimierte Ankunftszeit
- Vom Modus abhängige „Komfort“-Kriterien
z.B. # Umstiege, Laufdauer, Taxikosten, etc.

Multikriterielle multimodale Journeys

Ziel: Berechne **multikriterielle** multimodale Pareto-Mengen.

- Optimierte Ankunftszeit
- Vom Modus abhängige „Komfort“-Kriterien
z.B. # Umstiege, Laufdauer, Taxikosten, etc.



Criteria: Arrival time, # transfers, walking duration. Sixty-nine solutions.

Bekanntes Problem: Pareto-Menge stark wachsend in # Kriterien

Definition (Dominanz, Pareto-Menge)

Journey J_1 **dominiert** Journey $J_2 \iff J_2$ in keinem Kriterium besser

Pareto-Menge: inklusionsmaximale Menge nichtdominierter Journeys

Definition (Dominanz, Pareto-Menge)

Journey J_1 **dominiert** Journey $J_2 \iff J_2$ in keinem Kriterium besser

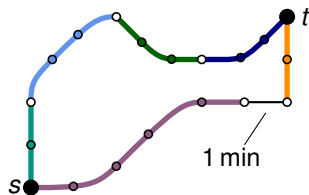
Pareto-Menge: inklusionsmaximale Menge nichtdominierter Journeys

Irrelevante Lösungen:

Eine nichtdominierte Journey kann

- minimale Verbesserung für Kriterium A liefern,
- ist aber viel schlechter in Kriterium B .

Viele Kriterien \Rightarrow Kombinatorische Explosion



Definition (Dominanz, Pareto-Menge)

Journey J_1 **dominiert** Journey $J_2 \iff J_2$ in keinem Kriterium besser

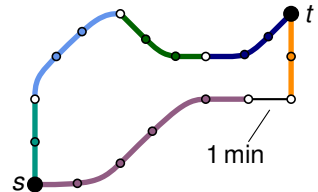
Pareto-Menge: inklusionsmaximale Menge nichtdominierter Journeys

Irrelevante Lösungen:

Eine nichtdominierte Journey kann

- minimale Verbesserung für Kriterium A liefern,
- ist aber viel schlechter in Kriterium B .

Viele Kriterien \Rightarrow Kombinatorische Explosion



Wie identifiziert man **signifikante** Lösungen einer Pareto-Menge?

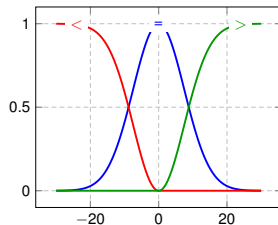
Beobachtung: Benutzer haben **unscharfe Vorstellung** bzgl. einiger Kriterien.

- ± 1 Minute Laufen ist „ungefähr gleichwertig“,
- aber ± 30 Minuten machen einen Unterschied.

Beobachtung: Benutzer haben **unscharfe Vorstellung** bzgl. einiger Kriterien.

- ± 1 Minute Laufen ist „ungefähr gleichwertig“,
- aber ± 30 Minuten machen einen Unterschied.

Idee: Relaxiere Dominanzbegriff mit **unscharfer Mengenlehre** (engl. fuzzy set theory).



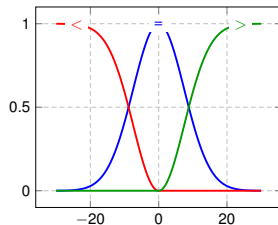
Beobachtung: Benutzer haben **unscharfe Vorstellung** bzgl. einiger Kriterien.

- ± 1 Minute Laufen ist „ungefähr gleichwertig“,
- aber ± 30 Minuten machen einen Unterschied.

Idee: Relaxiere Dominanzbegriff mit **unscharfer Mengenlehre** (engl. fuzzy set theory).

- Fuzzy-Operatoren $<$, $>$ und $=$
- Unterschiedliche Parametrisierung pro Kriterium

\Rightarrow Grad der Dominanz $d(J_1, J_2) \in [0, 1]$.
„Wie stark wird J_2 von J_1 dominiert?“



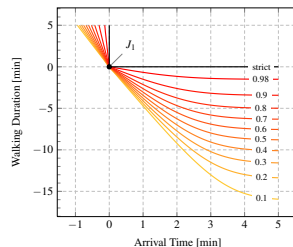
Beobachtung: Benutzer haben **unscharfe Vorstellung** bzgl. einiger Kriterien.

- ± 1 Minute Laufen ist „ungefähr gleichwertig“,
- aber ± 30 Minuten machen einen Unterschied.

Idee: Relaxiere Dominanzbegriff mit **unscharfer Mengenlehre** (engl. fuzzy set theory).

- Fuzzy-Operatoren $<$, $>$ und $=$
- Unterschiedliche Parametrisierung pro Kriterium

\Rightarrow Grad der Dominanz $d(J_1, J_2) \in [0, 1]$.
„Wie stark wird J_2 von J_1 dominiert?“



Journey J_1 kann J_2 z.B. 90 %-dominieren, auch wenn J_2 1 min weniger Laufen bedeutet.

Signifikante Journeys identifizieren

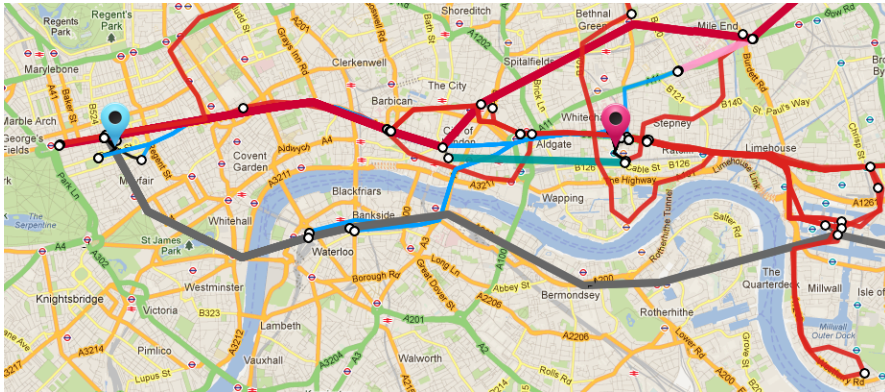
Ansatz:

- Berechne volle (exakte) Pareto-Menge $\{J_1, \dots, J_n\}$ mit multikriteriellem Algorithmus
- Bewerte jede Journey J mit $1 - \max(d(J_1, J), \dots, d(J_n, J))$
- Dann gilt: Journeys mit höherer Bewertung sind wichtiger

Signifikante Journeys identifizieren

Ansatz:

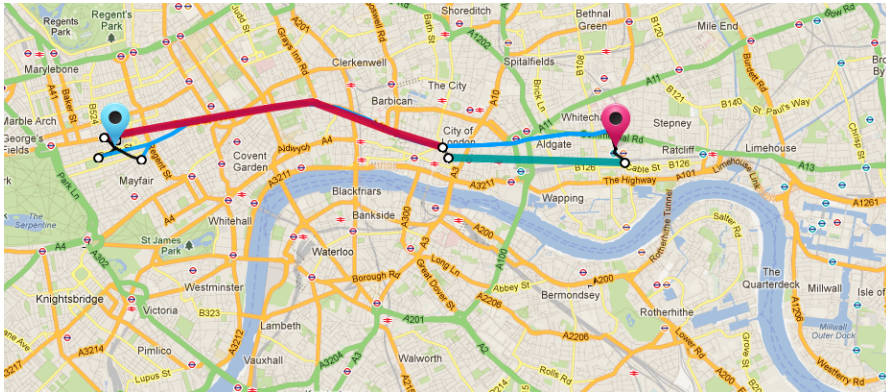
- Berechne volle (exakte) Pareto-Menge $\{J_1, \dots, J_n\}$ mit multikriteriellem Algorithmus
- Bewerte jede Journey J mit $1 - \max(d(J_1, J), \dots, d(J_n, J))$
- Dann gilt: Journeys mit höherer Bewertung sind wichtiger



Signifikante Journeys identifizieren

Ansatz:

- Berechne volle (exakte) Pareto-Menge $\{J_1, \dots, J_n\}$ mit multikriteriellem Algorithmus
- Bewerte jede Journey J mit $1 - \max(d(J_1, J), \dots, d(J_n, J))$
- Dann gilt: Journeys mit höherer Bewertung sind wichtiger



Three highest-scored journeys.

Beobachtungen

- Modale Transfers nur an bestimmten Orten möglich
- Ein Trip immer mit einem Transportmodus

Beobachtungen

- Modale Transfers nur an bestimmten Orten möglich
- Ein Trip immer mit einem Transportmodus

Multimodal Multicriteria RAPTOR (MCR):

- Eine Runde pro Trip
- Verwalte Pareto-Mengen von Labels
 - an jedem Knoten
 - für jede Runde (Modus, Umstieg)
- In jeder Runde: Führe Subalgorithmus für jeden Transportmodus aus.
 - Public Transit: McRAPTOR
 - Laufen, Fahrrad, Taxi: MC-Dijkstra & UCCH
- Lies Labels aus Runde $i - 1$ ein, schreibe nach Runde i

Heuristische Ansätze

Problem: Queries zu langsam (mehrere Sekunden)

Problem: Queries zu langsam (mehrere Sekunden)

Viele unwichtige Journeys \Rightarrow am besten gar nicht erst berechnen

Problem: Queries zu langsam (mehrere Sekunden)

Viele unwichtige Journeys \Rightarrow am besten gar nicht erst berechnen

Relaxiere Dominanz:

- **MCR-hf:** Fuzzy-Dominanz zwischen Labels während Algorithmus
- **MCR-hb:** Strikte Dominanz mit diskretisierten Kriterien („Buckets“)

Problem: Queries zu langsam (mehrere Sekunden)

Viele unwichtige Journeys \Rightarrow am besten gar nicht erst berechnen

Relaxiere Dominanz:

- **MCR-hf:** Fuzzy-Dominanz zwischen Labels während Algorithmus
- **MCR-hb:** Strikte Dominanz mit diskretisierten Kriterien („Buckets“)

Laufen einschränken:

- **MCR-tx-ry:** Max. x Minuten Laufen zwischen Trips und y Minuten an Start/Ziel

Problem: Queries zu langsam (mehrere Sekunden)

Viele unwichtige Journeys \Rightarrow am besten gar nicht erst berechnen

Relaxiere Dominanz:

- **MCR-hf:** Fuzzy-Dominanz zwischen Labels während Algorithmus
- **MCR-hb:** Strikte Dominanz mit diskretisierten Kriterien („Buckets“)

Laufen einschränken:

- **MCR-tx-ry:** Max. x Minuten Laufen zwischen Trips und y Minuten an Start/Ziel

Reduziere Anzahl Kriterien:

- **MR-x:** Jeweils x Minuten Laufen zählen als Trip

Motivation: Service benutzt Algorithmus \mathcal{A} , präsentiert dem Nutzer Top- k -Journeys aus $P_{\mathcal{A}}$.

Motivation: Service benutzt Algorithmus \mathcal{A} , präsentiert dem Nutzer Top- k -Journeys aus $P_{\mathcal{A}}$.

Ähnlichkeit von Journeys:

- Benutze Fuzzy $=$ -Operator für jedes Kriterium
- (Gesamt-) Ähnlichkeit: minimale Ähnlichkeit aller Kriterien

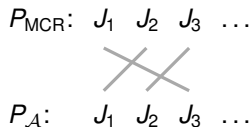
Motivation: Service benutzt Algorithmus \mathcal{A} , präsentiert dem Nutzer Top- k -Journeys aus $P_{\mathcal{A}}$.

Ähnlichkeit von Journeys:

- Benutze Fuzzy $=$ -Operator für jedes Kriterium
- (Gesamt-) Ähnlichkeit: minimale Ähnlichkeit aller Kriterien

Qualität der Lösungen:

- Betrachte P_{MCR} als „*Ground Truth*“
- Behalte nur Top- k -Journeys in $P_{\mathcal{A}}, P_{\text{MCR}}$
- Berechne maximales Matching zwischen $P_{\mathcal{A}}$ und P_{MCR} bzgl. Ähnlichkeit



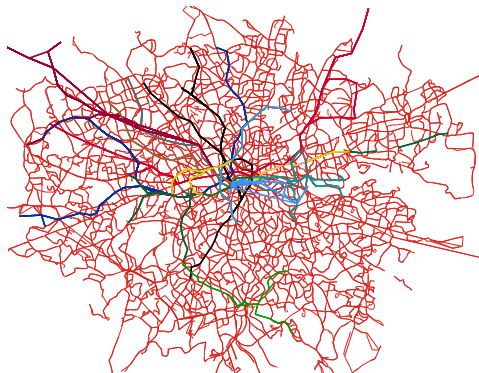
Ausgabe: Durchschnittliche Ähnlichkeit der gematchten Journeys

Komplettes öffentliches Nahverkehrsnetz:

- inkl. Tube, Bus, DLR, Tram, ...
- 20 k Stops, 2.2 k Routen
- über 5 M Connections pro Tag
- 564 Fahrradleihstationen

Straßen- und Fußgängernetzwerk:

- jeweils ≈ 260 k Knoten
(27 k unkontrahiert)
- und 1.4 M Kanten



Kriterien: Ankunftszeit, # Transfers, Laufdauer

| Algorithm | # Rnd. | # Jn. | Time [ms] | Quality-6 | |
|-------------|--------|-------|--------------|-----------|------|
| | | | | Avg. | Sd. |
| MCR | 13.8 | 29.1 | 1 438.7 | 100 % | 0 % |
| MCR-hf | 15.6 | 10.9 | 699.4 | 89 % | 11 % |
| MCR-hb | 10.2 | 9.0 | 456.7 | 91 % | 10 % |
| MCR-t10-r15 | 10.7 | 13.2 | 885.0 | 30 % | 31 % |
| MR-10 | 20.0 | 4.3 | 39.4 | 45 % | 29 % |

One core of Intel Xeon E5-2670, 2.6 GHz, 64 GiB DDR3-1600 RAM

Kriterien: Ankunftszeit, # Transfers, Laufdauer, Kosten





| Algorithm | Wlk. | # Rnd. | # Jn. | Time [ms] | Quality-6 Avg. | Sd. |
|-----------|------|--------|---------|--------------|-------------------|------|
| MCR | ● | 16.3 | 1 666.0 | 1 960 234.0 | 100 % | 0 % |
| MCR-hf | ● | 17.1 | 35.2 | 6 451.6 | 92 % | 6 % |
| MCR-hb | ● | 9.9 | 27.6 | 2 807.7 | 92 % | 6 % |
| MCR-hb | ○ | 9.0 | 11.6 | 996.4 | 74 % | 12 % |

One core of Intel Xeon E5-2670, 2.6 GHz, 64 GiB DDR3-1600 RAM

Wlk. ○: Kombiniert Laufdauer mit Kosten in ein Kriterium

- Ansatz zu multikriterieller multimodaler Routenplanung
- Optimierte Ankunftszeit sowie Komfortkriterien
- Unscharfe Mengenlehre hilft, wichtige Lösungen zu identifizieren
- Heuristiken finden schnell Lösungen mit guter Qualität
- ... sofern Komfortkriterien nicht verworfen werden

-  Ittai Abraham, Daniel Delling, Andrew V. Goldberg, and Renato F. Werneck.
A Hub-Based Labeling Algorithm for Shortest Paths on Road Networks.
In Pardalos and Rebennack [PR11], pages 230–241.
-  *Proceedings of the 14th Meeting on Algorithm Engineering and Experiments (ALENEX'12)*. SIAM, 2012.
-  Julian Arz, Dennis Luxen, and Peter Sanders.
Transit Node Routing Reconsidered.
In SEA'13 [SEA13], pages 55–66.
-  *Proceedings of the 9th Workshop on Algorithmic Approaches for Transportation Modeling, Optimization, and Systems (ATMOS'09)*, OpenAccess Series in Informatics (OASICS), 2009.
-  Chris Barrett, Keith Bisset, Martin Holzer, Goran Konjevod, Madhav V. Marathe, and Dorothea Wagner.
Engineering Label-Constrained Shortest-Path Algorithms.
In Camil Demetrescu, Andrew V. Goldberg, and David S. Johnson, editors, *The Shortest Path Problem: Ninth DIMACS Implementation Challenge*, volume 74 of *DIMACS Book*, pages 309–319. American Mathematical Society, 2009.

-  Hannah Bast, Daniel Delling, Andrew V. Goldberg, Matthias Müller–Hannemann, Thomas Pajor, Peter Sanders, Dorothea Wagner, and Renato F. Werneck.
Route Planning in Transportation Networks.
Technical Report abs/1504.05140, ArXiv e-prints, 2016.
-  Annabell Berger, Daniel Delling, Andreas Gebhardt, and Matthias Müller–Hannemann.
Accelerating Time-Dependent Multi-Criteria Timetable Information is Harder Than Expected.
In ATMOS'09 [ATM09].
-  Reinhard Bauer, Daniel Delling, and Dorothea Wagner.
Experimental Study on Speed-Up Techniques for Timetable Information Systems.
Networks, 57(1):38–52, January 2011.
-  Gerth Brodal and Riko Jacob.
Time-dependent Networks as Models to Achieve Fast Exact Time-table Queries.
In *Proceedings of the 3rd Workshop on Algorithmic Methods and Models for Optimization of Railways (ATMOS'03)*, volume 92 of *Electronic Notes in Theoretical Computer Science*, pages 3–15, 2004.



Chris Barrett, Riko Jacob, and Madhav V. Marathe.
Formal-Language-Constrained Path Problems.
SIAM Journal on Computing, 30(3):809–837, 2000.




Daniel Delling, Julian Dibbelt, Thomas Pajor, Dorothea Wagner, and Renato F. Werneck.
Computing Multimodal Journeys in Practice.
In SEA'13 [SEA13], pages 260–271.




Daniel Delling, Julian Dibbelt, Thomas Pajor, and Renato F. Werneck.
Public Transit Labeling.
In *Proceedings of the 14th International Symposium on Experimental Algorithms (SEA'15)*, Lecture Notes in Computer Science, pages 273–285. Springer, 2015.




Daniel Delling, Andrew V. Goldberg, Thomas Pajor, and Renato F. Werneck.
Customizable Route Planning.
In Pardalos and Rebennack [PR11], pages 376–387.

 Daniel Delling, Andrew V. Goldberg, Ilya Razenshteyn, and Renato F. Werneck.
Graph Partitioning with Natural Cuts.

In *25th International Parallel and Distributed Processing Symposium (IPDPS'11)*, pages 1135–1146. IEEE Computer Society, 2011.

 Julian Dibbelt, Thomas Pajor, Ben Strasser, and Dorothea Wagner.
Intriguingly Simple and Fast Transit Routing.

In SEA'13 [SEA13], pages 43–54.

 Daniel Delling, Thomas Pajor, and Dorothea Wagner.
Accelerating Multi-Modal Route Planning by Access-Nodes.

In Amos Fiat and Peter Sanders, editors, *Proceedings of the 17th Annual European Symposium on Algorithms (ESA'09)*, volume 5757 of *Lecture Notes in Computer Science*, pages 587–598. Springer, September 2009.

 Daniel Delling, Thomas Pajor, and Renato F. Werneck.
Round-Based Public Transit Routing.

In ALENEX'12 [ALE12], pages 130–140.



Julian Dibbelt, Thomas Pajor, and Dorothea Wagner.
User-Constrained Multi-Modal Route Planning.
In ALENEX'12 [ALE12], pages 118–129.







Daniel Delling, Thomas Pajor, Dorothea Wagner, and Christos Zaroliagis.
Efficient Route Planning in Flight Networks.
In ATMOS'09 [ATM09].



Daniel Delling and Dorothea Wagner.
Time-Dependent Route Planning.
In Ravindra K. Ahuja, Rolf H. Möhring, and Christos Zaroliagis, editors, *Robust and Online Large-Scale Optimization*, volume 5868 of *Lecture Notes in Computer Science*, pages 207–230. Springer, 2009.



Marco Farina and Paolo Amato.
A Fuzzy Definition of “Optimality” for Many-Criteria Optimization Problems.
IEEE Transactions on Systems, Man, and Cybernetics, Part A, 34(3):315–326, 2004.

-  Robert Geisberger, Peter Sanders, Dominik Schultes, and Christian Vetter.
Exact Routing in Large Road Networks Using Contraction Hierarchies.
Transportation Science, 46(3):388–404, August 2012.
-  Dominik Kirchler, Leo Liberti, Thomas Pajor, and Roberto Wolfler Calvo.
UniALT for Regular Language Constraint Shortest Paths on a Multi-Modal Transportation Network.
In *Proceedings of the 11th Workshop on Algorithmic Approaches for Transportation Modeling, Optimization, and Systems (ATMOS'11)*, volume 20 of *OpenAccess Series in Informatics (OASICs)*, pages 64–75, 2011.
-  Panos M. Pardalos and Steffen Rebennack, editors.
Proceedings of the 10th International Symposium on Experimental Algorithms (SEA'11), volume 6630 of *Lecture Notes in Computer Science*. Springer, 2011.
-  Evangelia Pyrga, Frank Schulz, Dorothea Wagner, and Christos Zaroliagis.
Efficient Models for Timetable Information in Public Transportation Systems.
ACM Journal of Experimental Algorithmics, 12(2.4):1–39, 2008.



Proceedings of the 12th International Symposium on Experimental Algorithms (SEA'13), volume 7933 of *Lecture Notes in Computer Science*. Springer, 2013.



Ben Strasser and Dorothea Wagner.

Connection Scan Accelerated.

In Catherine C. McGeoch and Ulrich Meyer, editors, *Proceedings of the 16th Meeting on Algorithm Engineering and Experiments (ALENEX'14)*, pages 125–137. SIAM, 2014.